

# 15 Вращательные релаксационные процессы в тонких свободно подвешенных SmC-пленках

© А.В. Захаров, А.А. Вакуленко

Институт проблем машиноведения РАН,  
Санкт-Петербург, Россия  
E-mail: avak2vale@mail.ru

(Поступила в Редакцию 22 июня 2015 г.)

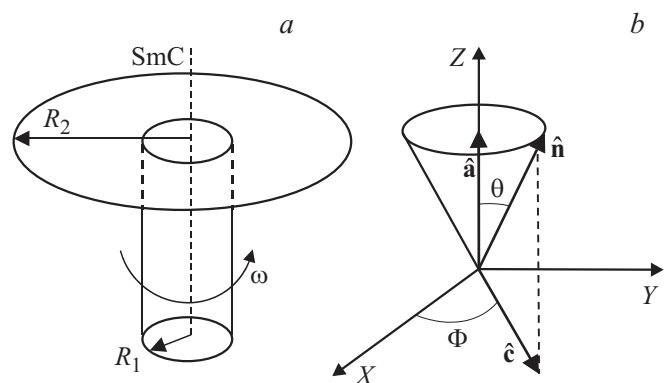
Предложено теоретическое описание процесса переориентации *c*-директора и тангенциальной компоненты вектора скорости в гибридно ориентированной SmC-пленке, натянутой между вращающейся внутренней и неподвижной внешней рамками. В рамках нелинейного обобщения классической теории Эриксона–Лесли на случай смектических фаз показано, что на величину и характер переориентации поля *c*-директора и формирование гидродинамических течений в таких SmC-пленках сильное влияние оказывают как кривизна, так и направление вращения внутренней рамки.

## 1. Введение

Тонкие свободно подвешенные смектические пленки являются очень привлекательными объектами для изучения, поскольку, с одной стороны, представляют собой образцы практически идеальных квазидвумерных анизотропных жидкостей [1–5], а с другой стороны, широко используются в жидкокристаллических (ЖК)-дисплеях и оптоэлектронике, а также при создании различных сенсоров, термоиндикаторов и детекторов давления, применяемых в медицинской диагностике и биологических лабораториях на чипах (Lab-on-a-chip) [6,7]. Основным элементом таких сенсоров и датчиков являются тонкие смектические С (SmC)-пленки, поверхность которых служит эффективным манипулятором как структурных, так динамических и оптических свойств этих приборов. На формирование течений в этих SmC-пленках, возникающих в процессе переориентации поля директора, оказывают сильное влияние внешние силы, такие как электрические поля или механические воздействия. Не менее важным фактором, который оказывает влияние на переориентацию поля директора является геометрия ЖК-пленки [1,2,5]. В свою очередь, инициируемые в SmC-пленках гидродинамические течения также искажают ориентацию поля директора, и тем самым влияют на оптические, диэлектрические и структурные свойства этих смектических пленок. Для того, чтобы создать механическим способом ориентационное искажение поля директора смектическую пленку натягивают между двумя жесткими рамками круговой формы радиусов  $R_1$  (внутренняя рамка) и  $R_2$  (внешняя рамка), причем радиус внутренней рамки  $R_1$  часто выбирают значительно меньше радиуса внешней рамки  $R_2$ . Затем внутреннюю круговую рамку заставляют вращаться с угловой скоростью  $\omega$ , в то время как внешнюю рамку оставляют неподвижной (см. рис. 1, *a*). При этом были экспериментально исследованы различные условия сцепления ЖК-молекул как с вращающейся, так и неподвижной

рамками, а также было изучено влияние скорости вращения внутренней круговой рамки на характер переориентации поля директора смектической пленки [1,5]. Также было изучено влияние скорости вращения и радиуса круговой рамки на величину и направление гидродинамических потоков, формирующихся в этих смектических пленках [1,5].

При этом было показано, что основным физическим механизмом, ответственным за возникновение гидродинамических потоков в свободно подвешенных смектических пленках, является взаимодействие градиентов поля *c*-директора и тангенциальной компоненты вектора скорости [1,5]. Следует отметить, что текстура такой SmC-пленки полностью описывается единичным вектором  $\hat{c}(t, \mathbf{r})$  (*c*-директором), представляющим собой проекцию директора  $\hat{n}(t, \mathbf{r})$  на плоскость  $XOY$ , в которой лежит смектическая пленка (см. рис. 1, *b*). При этом следует отметить, что локальная ориентация поля *c*-директора  $\hat{c}(t, \mathbf{r})$  задает направление азимутальной оптической оси и может быть зафиксирована с помощью поляризационного микроскопа [5]. Искажения



**Рис. 1.** (а) Схематическое представление свободно подвешенной SmC-пленки. (б) Система координат, используемая при вычислениях.

поля  $\mathbf{e}$ -директора, вызванные гидродинамическими потоками, в свою очередь, создают дополнительные упругие напряжения. Поэтому всесторонние исследования динамических режимов релаксации поля  $\mathbf{e}$ -директора и гидродинамических потоков, возникающих в свободно подвешенных смектических пленках, позволят улучшить как оптические, так и динамические характеристики сенсоров, термоиндикаторов и датчиков, применяемых, например, в медицинской диагностике и биологических лабораториях на чипах.

Целью нашего исследования является описание эволюции как поля  $\mathbf{e}$ -директора  $\hat{\mathbf{c}}(t, \mathbf{r})$ , так и поля скорости  $\mathbf{v}(t, \mathbf{r})$ , возникающих в свободно подвешенных SmC-пленках, натянутых между двумя рамками круговой формы микрометровых размеров и инициируемых вращением внутренней круговой рамки с угловой скоростью  $\omega$ . Это будет осуществлено в рамках классической теории Эриксона–Лесли [8,9] с учетом балансов массы, импульсов и угловых моментов, действующих на единицу объема ЖК-материала [10].

Численные исследования характера переориентации поля  $\mathbf{e}$ -директора и формирования гидродинамических потоков в свободно подвешенных SmC-пленках микрометровых размеров будут проведены для различных режимов вращения и размеров внутренней круговой рамки.

## 2. Основные уравнения

Рассмотрим SmC-пленку шириной  $d$ , натянутую между двумя круговыми рамками радиусов  $R_1$  и  $R_2$  ( $R_1 \ll R_2$ ) (см. рис. 1, *a*). В нашем случае радиус внутренней круговой рамки значительно меньше радиуса внешней рамки и директор  $\hat{\mathbf{n}}(t, \mathbf{r})$  смектической пленки образует фиксированный угол  $\theta$  с осью  $Z$  и нормалью  $\hat{\mathbf{e}}_z$  к SmC-пленке (см. рис. 1, *b*). В цилиндрической системе координат выражение для поля директора  $\hat{\mathbf{n}}$  может быть записано в виде  $\hat{\mathbf{n}}(t, \mathbf{r}) = \hat{\mathbf{a}} \cos \theta + \hat{\mathbf{c}}(t, \mathbf{r}) \sin \theta$ . Здесь  $\hat{\mathbf{c}}(t, \mathbf{r})$  —  $\mathbf{e}$ -директор, а единичный вектор  $\hat{\mathbf{a}}$  совпадает с нормалью к поверхности смектической пленки, т.е.  $\hat{\mathbf{a}} \parallel \hat{\mathbf{e}}_z$ . Эволюция  $\mathbf{e}$ -директора  $\hat{\mathbf{c}}(t, \mathbf{r}) = \cos \Phi(t, \mathbf{r}) \hat{\mathbf{e}}_r + \sin \Phi(t, \mathbf{r}) \hat{\mathbf{e}}_\varphi$  описывается азимутальным углом  $\Phi(t, \mathbf{r})$  (см. рис. 1, *b*), где  $\hat{\mathbf{e}}_\varphi = \hat{\mathbf{e}}_z \times \hat{\mathbf{e}}_r$ , а  $\hat{\mathbf{e}}_z$  и  $\hat{\mathbf{e}}_r$  — единичные орты. Поскольку переориентация  $\mathbf{e}$ -директора  $\hat{\mathbf{c}}(t, \mathbf{r})$  и вектора скорости осуществляется в плоскости SmC-пленки, то выражение для вектора скорости может быть записано в виде  $\mathbf{v} = v_r(t, \mathbf{r}) \hat{\mathbf{e}}_r + v_\varphi(t, \mathbf{r}) \hat{\mathbf{e}}_\varphi$ . Таким образом формирующееся в смектической пленке гидродинамическое течение  $\mathbf{v}(t, \mathbf{r})$ , обусловленное вращением внутренней круговой рамки радиуса  $R_1$ , с последующей переориентацией  $\mathbf{e}$ -директора  $\hat{\mathbf{c}}(t, \mathbf{r})$ , может быть описано в рамках обобщенной теории Эриксона–Лесли [8,9], которая учитывает баланс массы, импульсов и угловых моментов, действующих на единицу объема ЖК-образца. Принимая во внимание микроскопические размеры SmC-пленки,

мы можем предположить, что плотность ЖК-системы постоянна и, таким образом, мы имеем дело с несжимаемой жидкостью. Это позволяет нам записать уравнения сохранения в виде [10]

$$\nabla \cdot \mathbf{v} = 0, \quad (1)$$

$$\mathbf{T}_{\text{el}}^i + \mathbf{T}_{\text{vis}}^i = 0, \quad (2)$$

$$\rho \frac{d\mathbf{v}}{dt} = -\nabla \tilde{p} + \nabla \cdot \boldsymbol{\sigma}^{\text{vis}} + \nabla \hat{\mathbf{c}} \cdot \mathbf{g}^c, \quad (3)$$

где  $\mathbf{T}_{\text{el}}^i$  и  $\mathbf{T}_{\text{vis}}^i$  — упругие и вязкие вклады в баланс моментов, действующих на единицу объема ЖК-фазы, относительно векторов  $\hat{\mathbf{c}}$  ( $i = c$ ) и  $\hat{\mathbf{a}}$  ( $i = a$ ) соответственно. Детали вычислений импульсов и моментов, действующих на единицу объема ЖК-фазы, приведены в Приложении (см. уравнения (П1)–(П4)),  $\rho$  — плотность ЖК-фазы,  $\boldsymbol{\sigma}^{\text{vis}}$  — тензор вязких напряжений (см. уравнения (П5)–(П9)),  $\tilde{p} = p + W_{\text{el}}$ ,  $p$  — гидростатическое давление в ЖК-системе,  $W_{\text{el}}$  — плотность упругой энергии (см. уравнение (П10)), а  $\mathbf{g}^c$  — вспомогательный вектор (см. уравнение (П11)) соответственно.

При выполнении условия несжимаемости (см. уравнение (1)) поле скорости принимает вид  $\mathbf{v} = v_\varphi(t, \mathbf{r}) \hat{\mathbf{e}}_\varphi$  и удовлетворяет условию прилипания на неподвижной внешней рамке, а его тангенциальная компонента равна значению линейной скорости вращения на внутренней круговой рамке, т.е.

$$v_\varphi(t, r)_{r=R_2} = 0, \quad v_\varphi(t, r)_{r=R_1} = R_1 \omega. \quad (4)$$

Граничные условия для азимутального угла имеют вид

$$\Phi(t, r)_{r=R_1} = \frac{\pi}{2}, \quad \Phi(t, r)_{r=R_2} = 0, \quad (5)$$

т.е. мы имеем дело с гибридно ориентированным ЖК-образцом.

Система безразмерных уравнений, описывающих эволюцию поля  $\mathbf{e}$ -директора и скорости для случая вращающейся внутренней круговой рамки может быть записана в виде (см. Приложение, уравнения (П11) и (П15))

$$\begin{aligned} \Phi_{,r} = & \Phi_{,rr} \mathcal{G} + \frac{K-1}{2} \Phi_{,r}^2 \sin 2\Phi + \frac{\Phi_{,r}}{r} \mathcal{G} + \frac{K-1}{2} \frac{\sin 2\Phi}{r^2} \\ & + \frac{\cos 2\Phi}{2} \left[ (1-\lambda) v_{\varphi,r} + (1+\lambda) \frac{v_\varphi}{r} \right] - \frac{\sin^2 \Phi}{r} v_\varphi, \\ \mathcal{A} v_{\varphi,\tau} = & f_1 v_{\varphi,rr} + f_2 \frac{v_{\varphi,r}}{r} + f_3 \frac{v_\varphi}{r^2} + f_4, \end{aligned} \quad (6)$$

где  $K = \frac{K_2}{K_3}$ ,  $K_2$  и  $K_3$  — коэффициенты упругости, описывающие деформацию  $\mathbf{e}$ -директора в SmC-пленке,  $\mathcal{G} = \cos^2 \Phi + K \sin^2 \Phi$ ,  $\Phi_{,r} = \frac{\partial \Phi}{\partial r}$ ,  $\lambda = \frac{2\lambda_2}{\lambda_5}$  — отношение коэффициентов вращательных вязкостей,  $\bar{r} = r/d$  — безразмерное значение пространственной координаты,  $\tau = t/t_\Phi$  — безразмерное время,  $t_\Phi = \frac{2\lambda_5 d^2}{K_3}$  — характерное время переориентации поля  $\mathbf{e}$ -директора,  $\mathcal{A} = \frac{\rho K_3}{2\lambda_5^2}$ , а

выражения для коэффициентов  $f_i$  ( $i = 1, \dots, 4$ ) даны в Приложении (см. уравнения (П16)–(П19)). Граничные условия для азимутального угла  $\Phi(\tau, r)$  и скорости  $v_\varphi(\tau, r)$  в безразмерном виде могут быть записаны как

$$\begin{aligned} \Phi(\tau, r)_{r=\frac{R_1}{d}} &= \frac{\pi}{2}, & \Phi(\tau, r)_{r=\frac{R_2}{d}} &= 0, \\ v_\varphi(\tau, r)_{r=\frac{R_1}{d}} &= V_0, & v_\varphi(\tau, r)_{r=\frac{R_2}{d}} &= 0, \end{aligned} \quad (7)$$

в то время как начальное условие имеет вид

$$\Phi(0, r) = \Phi_{cl}^{eq}(r), \quad (8)$$

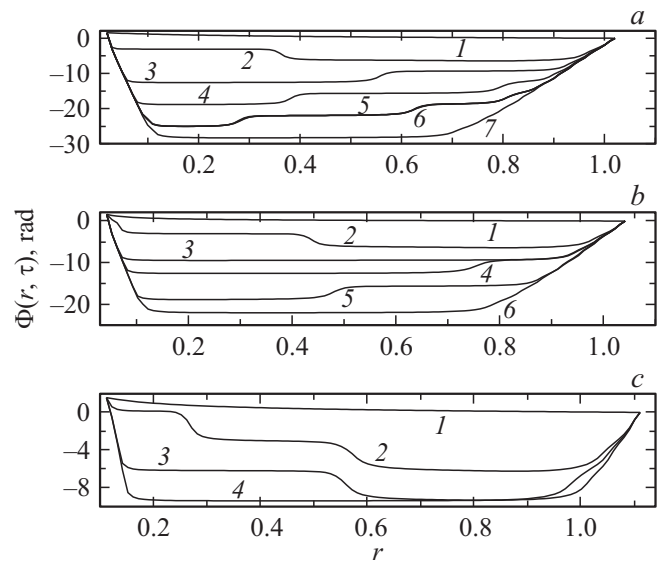
где  $\Phi_{cl}^{eq}(r)$  — решение системы (6), соответствующее равновесному распределению азимутального угла по всей ширине смектической пленки с учетом только упругих сил и при отсутствии течения  $v_\varphi(r)_{\frac{R_1}{d} \leq r \leq \frac{R_2}{d}} = 0$ .

В качестве смектической С-пленки может быть использована пленка, образованная ЖК-молекулами, представляющими собой коммерческую смесь Felix 16 (Clariant) [5], которая допускает существование SmC-фазы при комнатных температурах и плотности  $\rho \sim 10^3 \text{ kg/m}^3$ . Значение полярного угла  $\theta$  было выбрано равным  $20^\circ$ , а величины упругих и вязких коэффициентов для этих ЖК-материалов были оценены как [11]  $K_2 = 0.64 \text{ pN}$  и  $K_3 = 1.58 \text{ pN}$ ,  $\mu_0 = 0.07$ ,  $\mu_3 = 0.0001$ ,  $\mu_4 = 0.002$ ,  $\lambda_2 = -0.0041$  и  $\lambda_5 = 0.004$  соответственно. Здесь все значения коэффициентов вязкости даны в [Pa s]. Значение радиуса внешней круговой рамки равно  $R_2 = 500 \mu\text{m}$ , в то время как значения радиуса внутренней круговой рамки были выбраны равными  $R_1 = 10, 20$  и  $50 \mu\text{m}$ . Принимая во внимание микроскопическую ширину смектической пленки  $d = R_2 - R_1$ , характерное время  $t_\Phi = \frac{2\lambda_5 d^2}{K_3}$ , используемое при нормировке, может быть оценено в 1200 s, при ширине смектической SmC-пленки в  $d = 490 \mu\text{m}$ , в 1150 s, при  $d = 480 \mu\text{m}$  и в 1000 s, при  $d = 450 \mu\text{m}$ . В наших расчетах величины коэффициентов  $\mathcal{A} = \frac{\rho K_3}{2\lambda_5^2}$  и  $\delta = \frac{\mu_3}{\lambda_5}$  могут быть оценены как:  $\mathcal{A} \sim 4.6 \times 10^{-5}$  и  $\delta \sim 0.025$ . Угловая скорость вращения угловой рамки варьировалась от  $\omega \sim 82 \text{ rad/s}$ , при  $R_1 = 10 \mu\text{m}$ , до  $\omega \sim 18 \text{ rad/s}$  при  $R_1 = 50 \mu\text{m}$ .

Учитывая, что  $\mathcal{A} \ll 1$ , левой частью второго уравнения (6) можно пренебречь. А тот факт, что  $\delta \ll 1$ , позволяет также пренебречь некоторыми вкладками в коэффициенты  $f_i$  ( $i = 1, \dots, 4$ ) (см. уравнения (П16)–(П19)).

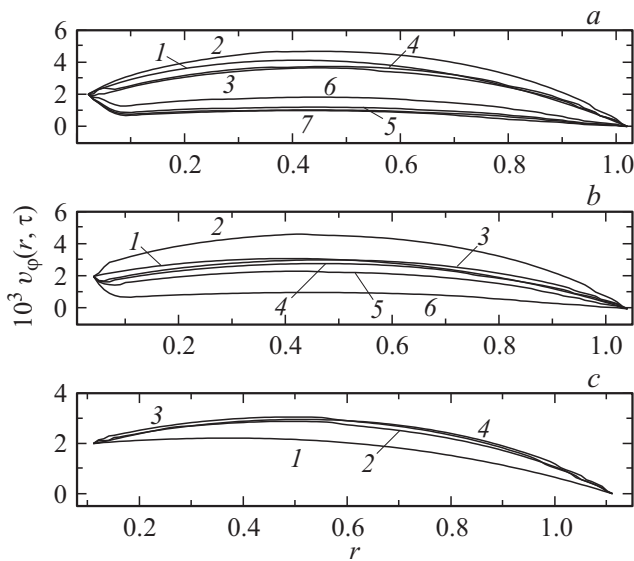
### 3. Эволюция поля с-директора и скорости в SmC-пленке

Процесс переориентации поля с-директора и формирование гидродинамического потока, инициируемого вращающейся с постоянной безразмерной скоростью  $V_0 = 2000$  внутренней круговой рамкой различных радиусов, описывается системой нелинейных дифференциальных уравнений в частных производных (6) с



**Рис. 2.** Распределения азимутального угла  $\Phi(\tau, r)$  по ширине свободно подвешенной смектической пленки, соответствующие различным моментам времени и различным значениям радиуса внутренней круговой рамки, вращающейся против часовой стрелки с безразмерной скоростью  $V_0 = 2000$ . (a)  $R_1 = 10 \mu\text{m}$ , и (1)  $\tau_1 = 10^{-6}$ , (2)  $\tau_2 = 0.005$ , (3)  $\tau_3 = 0.02$ , (4)  $\tau_4 = 0.03$ , (5)  $\tau_5 = 0.0373$ , (6)  $\tau_6 = 0.04$  и (7)  $\tau_7 = \tau_R = 0.094$ . (b)  $R_1 = 20 \mu\text{m}$ , и (1)  $\tau_1 = 10^{-6}$ , (2)  $\tau_2 = 0.005$ , (3)  $\tau_3 = 0.02$ , (4)  $\tau_4 = 0.03$ , (5)  $\tau_5 = 0.06$  и (6)  $\tau_6 = \tau_R = 0.102$ . (c)  $R_1 = 50 \mu\text{m}$  и (1)  $\tau_1 = 10^{-6}$ , (2)  $\tau_2 = 0.005$ , (3)  $\tau_3 = 0.01$  и (4)  $\tau_4 = \tau_R = 0.037$ .

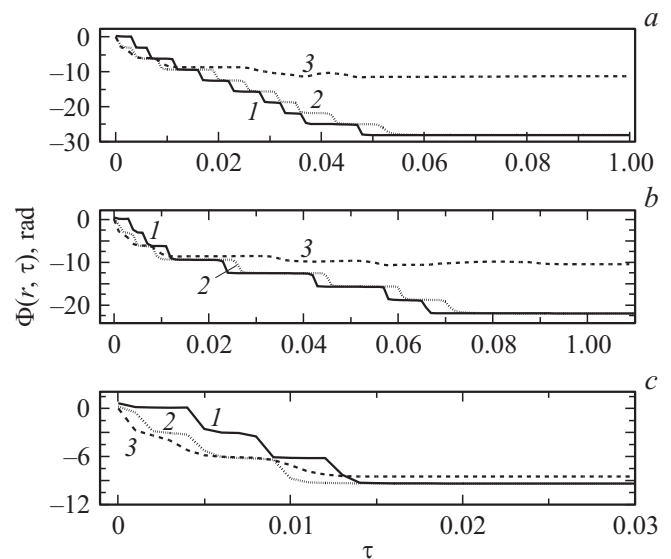
учетом граничных (7) и начального (8) условий, и результаты расчетов представлены на рис. 2–7. Эта система была решена комбинацией методов релаксации и прогонки [12]. В начальный момент времени  $\tau = 0$  было рассчитано распределение азимутального угла  $\Phi_{cl}^{eq}(r)$  по всей ширине SmC-пленки с помощью системы (6) при условии отсутствия гидродинамического течения  $v_\varphi(r)_{\frac{R_1}{d} \leq r \leq \frac{R_2}{d}} = 0$ , а условием сходимости итерационной процедуры была выбрана величина  $\epsilon = |(\Phi_{m+1}(r) - \Phi_m(r))/\Phi_m(r)| \sim 10^{-4}$ , где  $m$  — номер итерации. На рис. 2 представлены результаты расчета эволюции распределения поля с-директора в гибридно ориентированной свободно подвешенной SmC-пленке при постоянном значении безразмерной скорости  $V_0 = 2000$  вращения внутренней круговой рамки. При этом радиус вращающейся против часовой стрелки (случай I) круговой рамки  $R_1$  изменялся от 10 до  $50 \mu\text{m}$ , а значения скорости вращения внутренней рамки изменялись от  $\omega = 82 \text{ rad/s}$  до  $\omega = 18 \text{ rad/s}$ . Процесс переориентации азимутального угла  $\Phi(\tau, r)$  на безразмерных временах до  $\tau_2 = 0.005$  характеризуется тем, что сильнее переориентируется область ( $0.6 \leq r \leq 1.0$ ), примыкающая к внешней неподвижной круговой рамке, вне зависимости от величины радиуса вращающейся рамки. По мере роста  $\tau$  процесс переориентации начинает увлекать и области, примыкающие к внут-



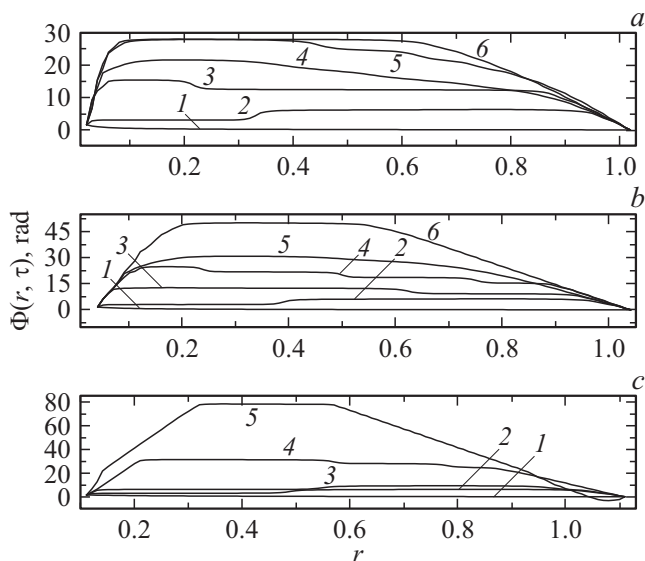
**Рис. 3.** Распределения тангенциальной компоненты вектора скорости  $v_\phi(\tau, r)$  по ширине свободно подвешенной смектической пленки, соответствующие различным временам и величинам радиуса внутренней круговой рамки, представленным на рис. 2.

ренной вращающейся рамке. При достижении времен  $\tau = \tau_R = \tau_i$  ( $i = 7$  при  $R_1 = 10 \mu\text{m}$ ,  $i = 6$  при  $R_1 = 20 \mu\text{m}$  и  $i = 4$  при  $R_1 = 50 \mu\text{m}$ ) азимутальный угол  $\Phi(\tau, r)$  достигает максимальных значений:  $\Phi_7^{\text{max}} \sim 28.55 \text{ rad}$ , или  $\sim 4.5$  оборота вокруг вектора  $\hat{a}$  по часовой стрелке при  $R_1 = 10 \mu\text{m}$ ,  $\Phi_6^{\text{max}} \sim 21.72 \text{ rad}$ , или  $\sim 3.5$  оборота вокруг вектора  $\hat{a}$  по часовой стрелке при  $R_1 = 20 \mu\text{m}$  и  $\Phi_4^{\text{max}} \sim 9.25 \text{ rad}$ , или  $\sim 1.5$  оборота вокруг вектора  $\hat{a}$  по часовой стрелке при  $R_1 = 50 \mu\text{m}$  соответственно. Здесь  $\tau_R$  — величина времени, при котором система достигает равновесного состояния. На рис. 3 представлены результаты расчетов эволюции распределения тангенциальной компоненты вектора скорости  $v_\phi(\tau, r)$  для трех значений радиуса внутренней рамки  $R_1$ , вращающейся против часовой стрелки: (a)  $10 \mu\text{m}$ , (b)  $20 \mu\text{m}$  и (c)  $50 \mu\text{m}$  соответственно. Для всех этих трех случаев безразмерная величина скорости вращения внутренней рамки равна 2000. На начальных временах эволюции до  $\tau = \tau_3$  профили скорости  $v_\phi(\tau, r)$  представляют собой выпуклые положительно определенные функции с максимальными значениями, достигаемыми в середине пленки ( $r \sim 0.5$ ) (см. рис. 3). Так,  $v_\phi^{\text{max}}(R_1 = 10 \mu\text{m}) \sim 3670$  ( $\sim 1500 \mu\text{m/s}$ ),  $v_\phi^{\text{max}}(R_1 = 20 \mu\text{m}) \sim 3030$  ( $\sim 1260 \mu\text{m/s}$ ) и  $v_\phi^{\text{max}}(R_1 = 50 \mu\text{m}) \sim 3080$  ( $\sim 1380 \mu\text{m/s}$ ) соответственно. По мере роста  $\tau$  и уменьшения радиуса  $R_1$  происходит качественное изменение формы профиля скорости  $v_\phi(\tau, r)$ . Из профиля, характеризующегося выпуклой функцией в сторону положительных значений  $v_\phi(\tau = \tau_4 = \tau_R, r)$  при  $R_1 = 50 \mu\text{m}$  (см. рис. 3, c), распределение скорости превращается в вогнутые профили с полностью отрицательными значениями по всей ширине смектической пленки, как при  $R_1 = 10 \mu\text{m}$  (см. рис. 3, a),

так и при  $R_1 = 20 \mu\text{m}$  (см. рис. 3, b). Основываясь на наших расчетах, мы можем сделать заключение, что кривизна внутренней вращающейся рамки оказывает принципиальное влияние на характер распределения тангенциальной компоненты вектора скорости. На рис. 4 представлены результаты расчета эволюции азимутального угла  $\Phi(\tau, r)$  в трех точках, удаленных на расстояния  $r = 0.2$  (1),  $0.5$  (2) и  $0.9$  (3), соответствующие безразмерным единицам, отсчитанным от центра системы координат, и трех значений радиуса внутренней рамки: (a)  $R_1 = 10 \mu\text{m}$ , (b)  $20 \mu\text{m}$  и (c)  $50 \mu\text{m}$  соответственно, причем внутренняя рамка вращалась против часовой стрелки с безразмерной скоростью  $V_0 = 2000$  (случай I). Было показано, что для всех трех значений радиуса рамки, на начальном этапе эволюции ( $\tau < 0.005$ ), с-директор закручивается сильнее по часовой стрелке относительно вектора  $\hat{a}$  в областях, примыкающих к неподвижной внешней рамке. На конечном этапе эволюции азимутального угла  $\Phi(\tau, r)$  реализуется более сильное закручивание с-директора уже в областях, примыкающих к вращающейся внутренней рамке. При этом с увеличением радиуса  $R_1$  закручивание убывает более чем в три раза, с  $\Phi_{\text{eq}}^{\text{max}} \sim 28.55 \text{ rad}$ , или  $\sim 4.5$  оборота вокруг вектора  $\hat{a}$  по часовой стрелке при  $R_1 = 10 \mu\text{m}$ , до  $\sim 9.25 \text{ rad}$ , или  $\sim 1.5$  оборота вокруг вектора  $\hat{a}$  по часовой стрелке при  $R_1 = 50 \mu\text{m}$  (см. рис. 4). Это позволяет нам сделать заключение, что кривизна внутренней вращающейся рамки оказывает сильное влияние и на закручивание с-директора свободно подвешенной SmC-пленки относительно вектора  $\hat{a}$ . На рис. 5 представлены результаты



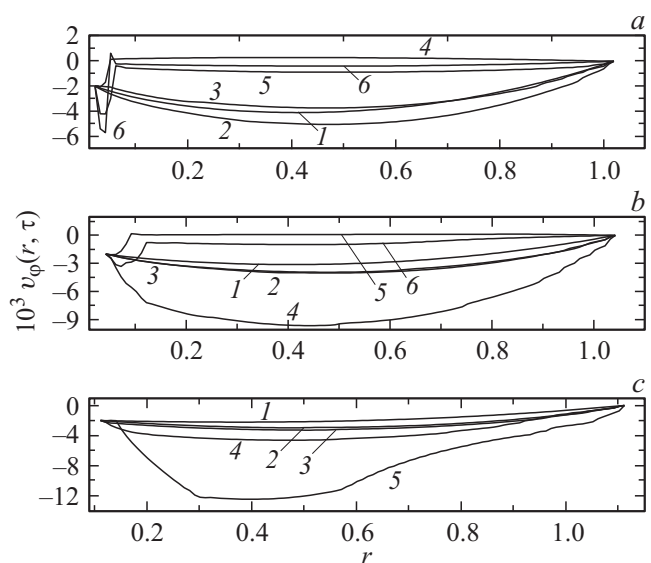
**Рис. 4.** Релаксация азимутального угла  $\Phi(\tau, r)$  в трех точках на расстояниях  $r = 0.2$  (1),  $0.5$  (2) и  $0.9$  (3), соответствующих безразмерным единицам, отсчитанным от центра системы координат, и для трех значений радиуса внутренней рамки: (a)  $R_1 = 10$ , (b)  $20$  и (c)  $50 \mu\text{m}$  соответственно. Рамка вращалась против часовой стрелки с безразмерной скоростью  $V_0 = 2000$ .



**Рис. 5.** То же, что и на рис. 2, но только внутренняя рамка вращается по часовой стрелке с безразмерной скоростью  $V_0 = 2000$ . (a)  $R_1 = 10 \mu\text{m}$  и (1)  $\tau_1 = 10^{-7}$ , (2)  $\tau_2 = 0.005$ , (3)  $\tau_3 = 0.02$ , (4)  $\tau_4 = 0.03$ , (5)  $\tau_5 = 0.08$  и (6)  $\tau_6 = \tau_R = 0.15$ . (b)  $R_1 = 20 \mu\text{m}$  и (1)  $\tau_1 = 10^{-7}$ , (2)  $\tau_2 = 0.005$ , (3)  $\tau_3 = 0.02$ , (4)  $\tau_4 = 0.03$ , (5)  $\tau_5 = 0.06$  и (6)  $\tau_6 = \tau_R = 0.11$ . (c)  $R_1 = 50 \mu\text{m}$  и (1)  $\tau_1 = 10^{-7}$ , (2)  $\tau_2 = 0.005$ , (3)  $\tau_3 = 0.01$  и (4)  $\tau_4 = 0.06$  и  $\tau_5 = \tau_R = 0.094$ .

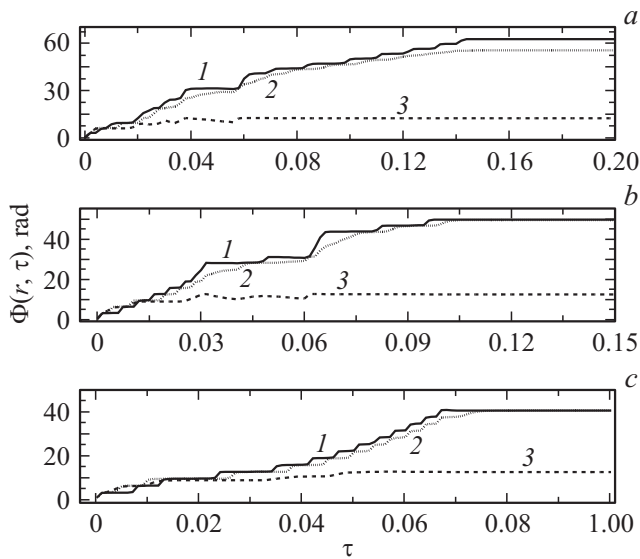
расчета эволюции поля с-директора в гибридно ориентированной SmC-пленке для случая вращения внутренней рамки по часовой стрелке (случай II) для трех значений радиуса  $R_1$ : (a)  $10 \mu\text{m}$ , (b)  $20 \mu\text{m}$ , и (c)  $50 \mu\text{m}$  соответственно. Процесс переориентации азимутального угла  $\Phi(\tau, r)$  на безразмерных временах до  $\tau_2 = 0.005$  характеризуется тем, что сильнее переориентируются области ( $0.6 < r < 0.9$ ), примыкающие к внешней неподвижной рамке, вне зависимости от величины радиуса вращающейся рамки (см. рис. 5). По мере роста  $\tau$  процесс переориентации начинает все сильнее увлекать области, примыкающие к вращающейся против часовой стрелки рамке. При достижении времен  $\tau = \tau_R = \tau_i$  ( $i = 6$ , при  $R_1 = 10 \mu\text{m}$  и  $20 \mu\text{m}$ , и  $i = 5$ , при  $R_1 = 50 \mu\text{m}$ ) азимутальный угол  $\Phi(\tau, r)$  достигает максимальных значений  $\Phi_6^{\text{max}} \sim 28.18 \text{ rad}$  или  $\sim 4.5$  оборота вокруг вектора  $\hat{a}$  против часовой стрелки при  $R_1 = 10 \mu\text{m}$ ,  $\Phi_6^{\text{max}} \sim 50.31 \text{ rad}$  или  $\sim 8$  оборотов вокруг вектора  $\hat{a}$  против часовой стрелки при  $R_1 = 20 \mu\text{m}$  и  $\Phi_5^{\text{max}} \sim 77.7 \text{ rad}$  или  $\sim 12.3$  оборота вокруг вектора  $\hat{a}$  против часовой стрелки при  $R_1 = 50 \mu\text{m}$  соответственно. Эволюция распределения тангенциальной компоненты вектора скорости  $v_\phi(\tau, r)$  для трех значений радиуса внутренней рамки  $R_1$  и для случая II представлена на рис. 6. Для всех трех значений радиуса  $R_1$ : (a)  $10 \mu\text{m}$ , (b)  $20 \mu\text{m}$  и (c)  $50 \mu\text{m}$  безразмерная величина скорости вращения внутренней рамки была равна 2000. Прежде всего следует отметить, что во всех трех случаях, представленных на рис. 6, a, b и c, значения скоро-

сти  $v_\phi(\tau, r)$  отрицательны, т.е. свободно подвешенная смектическая пленка на всем временном интервале эволюции вращается по часовой стрелке. В случае малого радиуса  $R_1 = 10 \mu\text{m}$ , основная перестройка профиля  $v_\phi(\tau, r)$  происходит вблизи вращающейся внутренней рамки (см. рис. 6, a) ( $0 < r < 0.006$ ), в то время как с увеличением радиуса  $R_1$  до значений 20 и  $50 \mu\text{m}$  основное изменение профиля  $v_\phi(\tau, r)$  происходит в середине смектической пленки ( $0.1 < r < 0.8$ ). Так, в случае  $R_1 = 20 \mu\text{m}$  максимальное значение скорости  $v_\phi^{\text{max}} \sim 9000$  достигается на временах  $\tau = \tau_4$  в точке  $r \sim 0.45$  и потом скорость резко убывает в несколько раз до максимального значения  $v_\phi^{\text{max}} \sim 3000$  вблизи вращающейся рамки ( $r \sim 0.06$ ) на временах  $\tau = \tau_R$ . В случае  $R_1 = 50 \mu\text{m}$  максимальное значение скорости  $v_\phi^{\text{max}} \sim 12000$  достигается вблизи середины смектической пленки ( $r \sim 0.45$ ) на временах  $\tau = \tau_R$ . Следует отметить, что величина тангенциальной компоненты вектора скорости на конечном этапе эволюции на порядок выше в случае  $R_1 = 50 \mu\text{m}$  по сравнению с двумя другими значениями радиуса  $R_1 = 10 \mu\text{m}$  и  $R_1 = 20 \mu\text{m}$  соответственно. При этом безразмерная скорость вращения внутренней рамки равна 2000. На рис. 7 представлены результаты расчета эволюции азимутального угла  $\Phi(\tau, r)$  в трех точках, удаленных на расстояния  $r = 0.2$  (1),  $0.5$  (2) и  $0.9$  (3), соответствующие безразмерным единицам, отсчитанным от центра системы координат, и для трех значений радиуса внутренней рамки: (a)  $R_1 = 10 \mu\text{m}$ , (b)  $20 \mu\text{m}$  и (c)  $50 \mu\text{m}$  соответственно, причем внутренняя рамка вращалась по часовой стрелке с безразмерной скоростью 2000. В отличие от случая I, представленного на рис. 4, когда внутренняя рамка вращалась против часовой стрел-



**Рис. 6.** То же, что и на рис. 3, но только внутренняя рамка вращалась по часовой стрелке с безразмерной скоростью  $V_0 = 2000$ . Времена и значения радиуса внутренней рамки те же, что и на рис. 5.





**Рис. 7.** То же, что и на рис. 4, но только внутренняя рамка вращалась по часовой стрелке с безразмерной скоростью  $V_0 = 2000$ .

ки с такой же скоростью 2000, на заключительном этапе эволюции области SmC-пленки, прилегающие к вращающейся рамке, закручивались значительно сильнее, чем области, прилегающие к неподвижной рамке (см. рис. 7). Такое поведение ЖК-материала вполне понятно с физической точки зрения. Действительно, поскольку смектическая пленка характеризуется слабым коэффициентом упругости ЖК-материала, то в процесс движения должны сильнее увлекаться области, примыкающие к вращающейся рамке, в то время как области, примыкающие к неподвижной рамке должны раскручиваться медленнее. Это и показано на рис. 7, *a*, *b* и *c*. Таким образом наши исследования эволюции как азимутального угла  $\Phi$ , или *c*-директора, так и тангенциальной компоненты вектора скорости  $v_\varphi$  показали, что кривизна вращающейся внутренней рамки сильно влияет на характер формирующихся равновесных профилей этих физических величин. Было показано, что максимальное закручивание *c*-директора вокруг вектора  $\hat{a}$  или нормали к SmC-пленке для случая I примерно в два раза больше, чем для случая II (см. рис. 4 и 7). При этом безразмерная скорость вращения внутренней рамки в обоих случаях I и II была равна 2000. Наши вычисления также показали, что в случае II, когда внутренняя рамка вращалась с безразмерной скоростью 2000, переориентация директора в смектической пленке осуществлялась таким образом, что максимальное значение азимутального угла  $\Phi_7^{\max}(0.12 < r < 0.68)$  было равно  $\sim 30$  grad или  $\sim 4.5$  оборота вокруг вектора  $\hat{a}$  по часовой стрелке при  $R_1 = 10 \mu\text{m}$ . В то же время для случая I, когда внутренняя рамка вращалась с той же скоростью, но против часовой стрелки, максимальное значение азимутального угла  $\Phi_5^{\max}(0.3 < r < 0.58)$  было равно  $\sim 80$  grad или  $\sim 12.3$  оборота вокруг вектора  $\hat{a}$

против часовой стрелки при  $R_1 = 50 \mu\text{m}$ . Вычисления также показали, что при малых значениях  $R_1 = 50 \mu\text{m}$  профили  $v_\varphi(\tau, r)$  эволюционировали антисимметрично для вышеописанных случаев I и II и максимальные значения азимутальных углов были практически равны (см. рис. 2, *a* и 5, *a*). Но с ростом  $R_1$  или с уменьшением кривизны вращающейся внутренней рамки до значения  $50 \mu\text{m}$  произошло координатное изменение профилей  $\Phi(\tau, r)$  таким образом, что максимальные значения азимутального угла, соответствующие случаям I и II, различались на порядок величины. Так,  $\Phi_{\text{eq}}^{\max}(0.1 < r < 0.9) \sim 8$  grad или  $\sim 1.5$  оборота вокруг вектора  $\hat{a}$  по часовой стрелке при  $R_1 = 50 \mu\text{m}$  для случая I, в то время как  $\Phi_{\text{eq}}^{\max}(0.3 < r < 0.6) \sim 80$  grad или 12.3 оборота вокруг вектора  $\hat{a}$  против часовой стрелки при  $R_1 = 50 \mu\text{m}$  для случая II, при том, что внутренняя рамка вращалась с одной и той же безразмерной скоростью  $V_0 = 2000$ .

#### 4. Заключение

В настоящей работе была исследована релаксация как поля *c*-директора, так и тангенциальной составляющей вектора скорости в гибридно ориентированной SmC-пленке, натянутой между двумя круговыми рамками, выбранными таким образом, что внутренняя рамка вращалась с постоянной скоростью, а внешняя рамка оставалась неподвижной. Было показано, что на величину и характер переориентации азимутального угла, который однозначно определяет распределение *c*-директора по всей ширине SmC-пленки, сильно влияют, при всех прочих равных условиях, кривизна и направление вращения внутренней рамки. При вращении рамки по часовой стрелке (случай I) *c*-директор в свободно подвешенной пленке закручивается вокруг нормали к SmC-пленке против часовой стрелки. При смене направления вращения внутренней круговой рамки на противоположное, т.е. когда внутренняя рамка вращалась против часовой стрелки (случай II), то *c*-директор закручивался по часовой стрелке, причем расчетная величина азимутального угла  $\Phi(\tau, r)$ , описывающего ориентацию *c*-директора, была практически в два раза больше в случае II, чем в случае I. Более того, с ростом радиуса  $R_1$  неравенство азимутальных углов, соответствующих случаям I и II, только возрастало. Такое поведение распределения азимутального угла позволяет сделать заключение о том, что на ориентацию поля *c*-директора в свободно подвешенной смектической пленке, натянутой между вращающейся внутренней и неподвижной внешней рамками, сильное влияние оказывают как кривизна, так и направление вращения внутренней рамки.

Следует отметить, что расчетное распределение поля *c*-директора по ширине SmC-пленки, натянутой между вращающейся внутренней и неподвижной внешней рамками (см. рис. 2 и 5), качественно согласуется с

экспериментально наблюдаемой с помощью поляризационного микроскопа текстурой свободно подвешенной SmC-пленки, натянутой на круговую рамку [2,5]. В эксперименте вращение ЖК-системы было достигнуто с помощью вращающегося электрического поля, которое было инициировано двумя синхронизированными генераторами. При этом исследовались как бездефектные SmC-пленки, так и смектические пленки с топологическими дефектами структуры [2,5]. Наблюдаемые текстуры в бездефектных SmC-пленках характеризовались чередованием концентрических колец светлых и темных тонов, в то время как наблюдаемые текстуры в SmC-пленках с топологическими дефектами представляли собой спиральные узоры. В свою очередь, если бы эволюции поля  $\mathbf{c}$ -директора в бездефектных смектических пленках, представленные на рис. 2 и 5, наблюдались бы в поляризационный микроскоп, то видимые текстуры этих смектических пленок характеризовались бы чередованием концентрических областей светлых и темных тонов, как это было описано в эксперименте.

Все это позволяет сделать заключение о том, что реакцию смектической пленки на локальное механическое возмущение необходимо учитывать при создании измерительных приборов на основе ЖК-материалов.

## 5. Приложение: моменты и компоненты тензора напряжений

Мы рассматриваем SmC-фазу, где поле  $\mathbf{c}$ -директора задано вектором  $\hat{\mathbf{c}} = (\cos \Phi(\tau, r), \sin \Phi(\tau, r), 0)$ . Баланс вращательных моментов, действующих на единицу объема ЖК-фазы, состоит из двух вкладов, за счет упругих и вязких сил, действующих относительно  $\mathbf{c}$ -директора, как  $\mathbf{T}_{\text{el}}^c = \frac{\delta \mathcal{W}_{\text{el}}}{\delta \hat{\mathbf{c}}} \times \hat{\mathbf{c}}$  и  $\mathbf{T}_{\text{vis}}^c = \mathbf{g}^c \times \hat{\mathbf{c}}$  соответственно так и относительно  $\hat{\mathbf{a}}$ -вектора, как  $\mathbf{T}_{\text{el}}^a = \mathcal{E} : \nabla \mathbf{b} \times \hat{\mathbf{a}}$  и  $\mathbf{T}_{\text{vis}}^a = \mathbf{g}^a \times \hat{\mathbf{a}}$  соответственно. Здесь  $\mathbf{b}$  — неизвестный вектор, который дает вклад в выражение для упругого момента относительно вектора  $\hat{\mathbf{a}}$  и будет определен из уравнения баланса моментов, действующих на единицу объема смектической пленки, а два других вектора  $\mathbf{g}^c = -2[\lambda_2 D_s \cdot \hat{\mathbf{c}} + \lambda_5 \mathbf{C}]$  и  $\mathbf{g}^a = -2[\lambda_2 D_s \cdot \hat{\mathbf{c}} + \tau_3 \mathbf{C} + \tau_4 \hat{\mathbf{c}}(\hat{\mathbf{c}} \cdot \mathbf{D}^c)]$  дают вклад в диссипационную функцию  $\mathcal{R}^{\text{vis}}$ , а  $\mathcal{E}$ -тензор Леви–Чивита, а  $\mathcal{W}_{\text{el}} = \frac{1}{2} [K_2 (\nabla \cdot \hat{\mathbf{c}})^2 + K_3 (\hat{\mathbf{a}} \cdot \nabla \times \hat{\mathbf{c}})^2]$  — плотность упругой энергии, приходящейся на единицу объема смектической пленки. Вязкий вклад в диссипационную функцию имеет вид  $\mathcal{R}^{\text{vis}} = \frac{1}{2} (\sigma^{\text{vis}} + (\sigma^{\text{vis}})^T) : D_s - \mathbf{g}^c \cdot \mathbf{C} + \mathbf{g}^a \cdot (D_a \cdot \hat{\mathbf{a}})$ , где  $\mathbf{C} = \frac{d\hat{\mathbf{c}}}{dt} - D_a \cdot \hat{\mathbf{c}}$ , а  $D_s = \frac{1}{2} [\nabla \mathbf{v} + (\nabla \mathbf{v})^T]$  и  $D_a = \frac{1}{2} [\nabla \mathbf{v} - (\nabla \mathbf{v})^T]$  — симметричный и антисимметричный вклады в тензор  $\nabla \mathbf{v}$ . Тензор вязких напряжений  $\sigma^{\text{vis}}$  для случая смектической

пленки принимает вид

$$\sigma^{\text{vis}} = \mu_0 D_s + \mu_3 (\hat{\mathbf{c}} \cdot \mathbf{D}^c) \hat{\mathbf{c}} \otimes \hat{\mathbf{c}} + \mu_4 (\mathbf{D}^c \otimes \hat{\mathbf{c}} + \hat{\mathbf{c}} \otimes \mathbf{D}^c) + \lambda_2 ((\mathbf{C} + \mathbf{D}^c) \otimes \hat{\mathbf{c}} + \hat{\mathbf{c}} \otimes (\mathbf{C} - \mathbf{D}^c)) + \lambda_5 (\mathbf{C} \otimes \hat{\mathbf{c}} - \hat{\mathbf{c}} \otimes \mathbf{C}),$$

где  $\mathbf{D}^c = D_s \cdot \hat{\mathbf{c}}$  и  $\mathbf{D}^a = D_s \cdot \hat{\mathbf{a}}$  — два вспомогательных вектора, а  $\mu_0, \mu_2, \mu_3, \mu_4, \lambda_2, \lambda_5, \tau_3, \tau_4$  — коэффициенты вязкости смектической пленки.

Безразмерные упругие моменты имеют вид

$$\mathbf{T}_{\text{el}}^c = -\hat{\mathbf{e}}_z \left[ \Phi_{,rr} \mathcal{E} + \frac{K-1}{2} \Phi_{,r}^2 \sin 2\Phi + \frac{\Phi_{,r}}{r} \mathcal{E} + \frac{K-1}{2} \frac{\sin 2\Phi}{r^2} \right], \quad (\text{П1})$$

$$\mathbf{T}_{\text{el}}^a = -\hat{\mathbf{e}}_z \cos \Phi b_{z,r}, \quad (\text{П2})$$

в то время как вязкие вклады задаются выражениями [10]

$$\mathbf{T}_{\text{vis}}^c = \hat{\mathbf{e}}_z \left[ \Phi_{,r} - \frac{\cos 2\Phi}{2} \left( (1-\lambda) v_{\varphi,r} + (1+\lambda) \frac{v_\varphi}{r} \right) + \frac{\sin^2 \Phi}{r} \right], \quad (\text{П3})$$

$$\mathbf{T}_{\text{vis}}^a = \hat{\mathbf{e}}_z \left[ \frac{1}{2} \cos 2\Phi \left( \lambda - 1 \right) v_{\varphi,r} - (1+\lambda) \frac{v_\varphi}{r} + \sin^2 \Phi \frac{v_\varphi}{r} + \Phi_{,r} \right], \quad (\text{П4})$$

где  $K = \frac{K_2}{K_3}$ ,  $\lambda = \frac{\lambda_2}{\lambda_5}$ ,  $\mathcal{E} = \cos^2 \Phi + K \sin^2 \Phi$ ,  $\Phi_{,r} = \frac{\partial \Phi}{\partial r}$ ,  $\Phi_{,r} = \frac{\partial \Phi}{\partial r}$ . Безразмерные компоненты тензора вязких напряжений имеют вид

$$\sigma_{rr}^{\text{vis}} = \left( v_{\varphi,r} - \frac{v_\varphi}{r} \right) \left( \frac{\mu_3}{2\lambda_5} \sin 2\Phi \cos^2 \Phi + \frac{\mu_4}{\lambda_5} \sin 2\Phi \right) + \lambda \sin 2\Phi \left( \Phi_{,r} + \frac{3}{2} \frac{v_\varphi}{r} + \frac{1}{2} v_{\varphi,r} \right), \quad (\text{П5})$$

$$\sigma_{\varphi\varphi}^{\text{vis}} = \left( v_{\varphi,r} - \frac{v_\varphi}{r} \right) \left( \frac{\mu_3}{2\lambda_5} \sin 2\Phi \sin^2 \Phi + \frac{\mu_4}{\lambda_5} \sin 2\Phi \right) + \lambda \sin 2\Phi \left( \Phi_{,r} + \frac{1}{2} \left( v_{\varphi,r} + \frac{v_\varphi}{r} \right) \right), \quad (\text{П6})$$

$$\sigma_{r\varphi}^{\text{vis}} = \left( v_{\varphi,r} - \frac{v_\varphi}{r} \right) \left( \frac{\mu_0}{\lambda_5} + \frac{\mu_3}{2\lambda_5} \sin^2 2\Phi + \frac{\mu_4}{2\lambda_5} \right) + (\lambda - 1) \Phi_{,r} \cos 2\Phi + \frac{1 - \lambda + \lambda \cos 2\Phi}{2} \frac{v_\varphi}{r}, \quad (\text{П7})$$

$$\sigma_{\varphi r}^{\text{vis}} = \left( v_{\varphi,r} - \frac{v_\varphi}{r} \right) \left( \frac{\mu_0}{\lambda_5} + \frac{\mu_3}{2\lambda_5} \sin^2 2\Phi + \frac{\mu_4}{2\lambda_5} \right) + (\lambda - 1) \Phi_{,r} \cos 2\Phi - \frac{1 - \lambda + \lambda \cos 2\Phi}{2} \frac{v_\varphi}{r}. \quad (\text{П8})$$

Компоненты вектора  $\mathbf{g}^c$  в полярной системе координат могут быть записаны в виде

$$g_r^c = \left[ (1 - \lambda)v_{\varphi,r} + (1 + \lambda)\frac{v_\varphi}{r} + 2\Phi_{,\tau} \right] \sin \Phi,$$

$$g_\varphi^c = \left[ (1 - \lambda)v_{\varphi,r} + (1 + \lambda)\frac{v_\varphi}{r} - 2\Phi_{,\tau} \right] \cos \Phi, \quad (\text{П9})$$

в то время как безразмерная плотность упругой энергии принимает вид

$$W_{\text{el}} = \frac{1}{2} \left[ K \left( \frac{\cos \Phi}{r} - \sin \Phi \Phi_{,\tau} \right)^2 + \left( \frac{\sin \Phi}{r} + \cos \Phi \Phi_{,\tau} \right)^2 \right]. \quad (\text{П10})$$

Выражения (П1) и (П3) приводят к безразмерному уравнению баланса моментов относительно  $\mathbf{e}$ -директора

$$\Phi_{,\tau} = \Phi_{,rr} \mathcal{G} + \frac{K-1}{2} \Phi_{,\tau}^2 \sin 2\Phi + \frac{\Phi_{,\tau}}{r} \mathcal{G} + \frac{K-1}{2} \frac{\sin 2\Phi}{r^2}$$

$$+ \frac{\cos 2\Phi}{2} \left[ (1 - \lambda)v_{\varphi,r} + (1 + \lambda)\frac{v_\varphi}{r} \right] - \frac{\sin^2 \Phi}{r} v_\varphi, \quad (\text{П11})$$

в то время как выражения (П2) и (П4) приводят к безразмерному уравнению баланса моментов относительно вектора  $\hat{\mathbf{a}}$

$$\cos \Phi b_{z,r} = \frac{1}{2} \cos 2\Phi \left[ (\lambda - 1)v_{\varphi,r} - (1 + \lambda)\frac{v_\varphi}{r} \right] + \sin^2 \Phi \frac{v_\varphi}{r} + \Phi_{,\tau}. \quad (\text{П12})$$

Уравнение (3) в проекциях на орты  $\hat{\mathbf{e}}_r$ ,  $\hat{\mathbf{e}}_\varphi$  сводится к двум безразмерным уравнениям, где первое — определяет гидростатическое давление

$$\tilde{p}_{,r} = -\mathcal{A} \frac{v_\varphi^2}{r} + \frac{\mu_3}{\lambda_5} \left[ \frac{1}{2} v_{\varphi,rr} \sin 2\Phi \cos^2 \Phi + \frac{1}{8} \left( \frac{v_{\varphi,r}}{r} - \frac{v_\varphi}{r^2} \right) (\sin 4\Phi - 2 \sin 2\Phi) + \frac{1}{4} \left( v_{\varphi,r} - \frac{v_\varphi}{r} \right) \Phi_{,\tau} \left( 4 \cos 2\Phi \cos^2 \Phi - \sin 4\Phi \right) \right] + \frac{\mu_4}{2\lambda_5} \sin 2\Phi \left( v_{\varphi,rr} - \frac{v_{\varphi,r}}{r} + \frac{v_\varphi}{r^2} \right) - \Phi_{,r} \cos^2 \Phi \left( 2\Phi_{,\tau} + v_{\varphi,r} + \frac{v_\varphi}{r} \right) - \lambda \left[ \Phi_{,\tau r} \sin 2\Phi + 2\Phi_{,\tau} \Phi_{,r} \cos 2\Phi + \frac{1}{2} \sin 2\Phi \left( v_{\varphi,rr} + \frac{3v_{\varphi,r}}{r} - \frac{3v_\varphi}{r^2} \right) - \Phi_{,r} \cos^2 \Phi \left( v_{\varphi,r} - \frac{v_\varphi}{r} \right) \right], \quad (\text{П13})$$

а второе связывает тангенциальную скорость и азимутальный угол

$$\mathcal{A} v_{\varphi,\tau} = \frac{\mu_0 + \mu_4}{4\lambda_5} \left( v_{\varphi,rr} + \frac{v_{\varphi,r}}{r} - \frac{v_\varphi}{r^2} \right) + \frac{\mu_3}{8\lambda_5} \times \left[ \sin^2 2\Phi \left( v_{\varphi,rr} + \frac{v_{\varphi,r}}{r} - \frac{v_\varphi}{r^2} \right) + \Phi_{,r} \left( v_{\varphi,rr} - \frac{v_\varphi}{r} \right) \sin 4\Phi \right] + \frac{1}{8} \left[ 4\Phi_{,\tau r} - 8\Phi_{,\tau} \frac{\sin^2 \Phi}{r} + 2\Phi_{,r} v_{\varphi,r} \times (\sin 2\Phi + \cos 2\Phi) + \Phi_{,r} \frac{v_\varphi}{r} (3 \sin 2\Phi + 2 \cos 2\Phi) + \sin 2\Phi \left( v_{\varphi,rr} + \frac{v_{\varphi,r}}{r} - \frac{v_\varphi}{r^2} \right) + 2 \sin^2 \Phi \left( v_{\varphi,rr} + \frac{v_{\varphi,r}}{r} - 13 \frac{v_\varphi}{r^2} \right) \right] + \lambda \left[ \Phi_{,\tau r} \cos 2\Phi - 2\Phi_{,\tau} \Phi_{,r} \sin 2\Phi + \frac{2\Phi_{,\tau}}{r} \cos 2\Phi - \Phi_{,r} \left( 2v_{\varphi,r} + \frac{v_\varphi}{r} \right) \sin 2\Phi + \left( v_{\varphi,rr} + \frac{v_{\varphi,r}}{r} + 2 \frac{v_\varphi}{r^2} \right) \cos 2\Phi - \frac{v_\varphi}{r^2} \right]. \quad (\text{П14})$$

Здесь  $\mathcal{A} = \frac{\rho K_3}{2\lambda_5^2}$ . Подстановка уравнения (П11) в (П14) приводит к эволюционному уравнению для поля скорости

$$\mathcal{A} v_{\varphi,\tau} = f_1 v_{\varphi,rr} + f_2 \frac{v_{\varphi,r}}{r} + f_3 \frac{v_\varphi}{r^2} + f_4, \quad (\text{П15})$$

где коэффициенты  $f_i (i = 1, \dots, 4)$  задаются выражениями

$$f_1 = \frac{1}{8} \left[ 2 + \frac{\mu_0 + \mu_4 + \mu_3 \sin^2 2\Phi}{\lambda_5} + \sin 2\Phi + 2(1 - \lambda) \cos 2\Phi (\lambda \cos 2\Phi - 1) \right], \quad (\text{П16})$$

$$f_2 = \frac{1}{4} \left[ -\frac{\mu_0 + \mu_4 + \mu_3 \sin^2 2\Phi}{\lambda_5} + \sin 2\Phi + \cos 2\Phi (1 + 2\lambda + 2\lambda \cos 2\Phi) - \sin^2 \Phi (1 + (1 + \lambda) \cos 2\Phi) + \Phi_{,r} \left( -5 \sin 2\Phi + \cos 2\Phi - \lambda(2 - \lambda) \sin 4\Phi + \frac{2\mu_3}{\lambda_5} \sin 4\Phi \right) \right], \quad (\text{П17})$$



$$f_3 = \frac{1}{8} \left[ 2 \frac{\mu_0 + \mu_4 - 2\lambda_2 + \mu_3 \sin^2 2\Phi}{\lambda_5} - \sin 2\Phi + \cos 2\Phi (8\lambda + 2(1 + \lambda)) \right. \\ \times (-1 + \lambda \cos 2\Phi) - 8 \sin^2 \Phi \\ \left. - \sin^2 \Phi (18 + 8 \cos 2\Phi) - \Phi_{,r} \sin 2\Phi \right. \\ \left. \times \left( 1 + 8\lambda \cos^2 \Phi - 4 \frac{2\mu_3}{\lambda_5} \sin 4\Phi \right) \right], \quad (\text{П18})$$

$$f_4 = \left[ \frac{\lambda \cos 2\Phi - \sin^2 \Phi}{r} - \lambda \Phi_{,r} \sin 2\Phi \right] \\ \times \left[ \Phi_{,rr} \mathcal{E} + \frac{K-1}{2} \Phi_{,r}^2 \sin 2\Phi + \frac{\Phi_{,r}}{r} \mathcal{E} + \frac{K-1}{2} \frac{\sin 2\Phi}{r^2} \right] \\ + \frac{1 + \lambda \cos 2\Phi}{2} \left[ \Phi_{,rrr} \mathcal{E} + (K-1) \left( 2\Phi_{,rr} \Phi_{,r} + \frac{\Phi_{,r}^2}{r} - \frac{1}{r^3} \right) \right. \\ \left. \times \sin 2\Phi + (K-1) \left( \Phi_{,r}^3 + \frac{\Phi_{,r}}{r^2} \right) \cos 2\Phi + \mathcal{E} \left( \frac{\Phi_{,rr}}{r} - \frac{\Phi_{,r}}{r^2} \right) \right]. \quad (\text{П19})$$

## Список литературы

- [1] P.E. Cladis, Y. Couder, H.R. Brand. Phys. Rev. Lett. **55**, 2945 (1985).
- [2] R. Stannarius, Ch. Bohley, A. Eremin. Phys. Rev. Lett. **97**, 097 802 (2006).
- [3] Y. Tabe, H. Yokoyama. Nature Mater. **2**, 806 (2003).
- [4] D. Svensek, H. Pleiner, H.R. Brand. Phys. Rev. Lett. **96**, 140 601 (2006).
- [5] K. Harth, A. Eremin, R. Stannarius. Soft Mater. **7**, 2858 (2011).
- [6] D.K. Yang, S.T. Wu. Fundamentals of liquid crystal devices. John Wiley and Sons, N.Y. (2006). 378 p.
- [7] M. Staykova, D.P. Holmes, C. Read, H.A. Stone. Proc. Natl. Acad. Sci. USA **108**, 9084 (2011).
- [8] J.L. Ericksen. Arch. Ration. Mech. Anal. **4**, 231 (1960).
- [9] F.M. Leslie. Arch. Ration. Mech. Anal. **28**, 265 (1968).
- [10] С. Гроот, П. Мазур. Неравновесная термодинамика. Мир, М. (1964). 456 с.
- [11] I.W. Stewart. The static and dynamic continuum theory of liquid crystals. Taylor and Francis, London (2004). 360 p.
- [12] Самарский А.А., Николаев Е.С. Методы решения сеточных уравнений. Наука, М. (1978). 592 с.